УДК 621.311 ЭНЕРГЕТИКА

С.Г. АКОПЯН, А.С. АРУТЮНЯН, А.Г. АКОПЯН, А.Г. АРАМЯН

ИССЛЕДОВАНИЕ ВЛИЯНИЯ НАПРЯЖЕНИЯ БАЗИСНОГО УЗЛА НА ПОТЕРИ АКТИВНОЙ МОЩНОСТИ В СЕТИ ЭЛЕКТРОЭНЕРГЕТИЧЕСКОЙ СИСТЕМЫ

Исследуется влияние величины напряжения базисного узла на потери мощности и повышение эффективности работы в сетях электроэнергетической системы (ЭЭС). Рассматривается пример расчета.

Ключевые слова: электроэнергетическая система, базисный узел, экстремальный подход, потери мощности.

Задачи потокораспределения установившегося режима в ЭЭС в настоящее время являются актуальными. Имеется ряд методов, моделей и алгоритмов расчета, которые нашли различное применение. При этом большинство существующих методов расчета опираются на то, что величина напряжения базисного узла, как исходная информация, должна быть заданной. В действительности же напряжение базисного узла в течение суток изменяется, и его величина точно не известна. Поэтому это напряжение задается исследователем априори, исходя из интуитивных соображений и эмпирических оценок, которые вводят в результаты решения задачи неточность и ошибки. В некоторых случаях ошибки могут быть значительными искажают реальную и потокораспределения, приводя к дополнительным потерям активной мощности в сетях ЭЭС. Причем такие отклонения носят методический характер. Целью настоящей работы является исследование влияния различного значения заданного уровня напряжения базисного узла на параметры потокораспределения и на потери электроэнергии в сетях ЭЭС, привлечение внимания соответствующих специалистов в данной области к этой укоренившейся традиционной ошибке, разработка путей преодоления и устранения указанных недостатков.

Учитывая сложность, остроту и актуальность данного вопроса, исследования проводятся на известном и хорошо апробированном примере [1], где не учитываются побочные факторы и явления при расчете потерь. Вначале рассмотрим математическую модель традиционной задачи расчета установившегося режима ЭЭС с сосредоточенными параметрами в форме Y. Рассмотрим электрическую цепь ЭЭС произвольной структуры, схема замещения которой состоит из s=m+1 узлов и п ветвей. Уравнения установившегося режима ЭЭС трехфазного (симметричного) переменного тока, связывающие мощности, задающие токи ($\hat{\mathfrak{I}}_i$ комплексно-сопряженные) и напряжения узлов в форме Y, имеют вид

$$\dot{S}_{j} = P_{j} + jQ_{j} = 3\dot{U}_{j}\hat{\mathfrak{T}}_{j}, j = 1,2,...,m$$
 (1)

$$\sum_{k=1}^{m} Y_{jk} (\dot{U}_{k} - \dot{U}_{6}) = \dot{\mathfrak{I}}_{j}, j = 1, 2,, m, \qquad (2)$$

где Y_{jk} – элементы неособенной матрицы проводимостей, составленной для m независимых узлов.

При учете в схеме замещения ЭЭС поперечных паразитных емкостей линий электропередач (ЛЭП) компенсируются индуктивности в системе и уменьшаются потери реактивной мощности. Одновременно учет поперечных емкостей ЛЭП усложняет математическую модель и алгоритм расчета, так как эти емкости уменьшают диагональные элементы матрицы проводимостей, которые ухудшают сходимость итерационного процесса при решении задачи потокораспределения установившегося режима ЭЭС. Во избежание этого в схеме замещения ЭЭС можно не учитывать поперечные паразитные емкости ЛЭП. Если же по требованию рассматриваемой задачи необходим их учет, то это делается согласно [2], т.е. эти емкостные поперечные проводимости не суммируются с диагональными элементами матрицы проводимостей, а представляются эквивалентными источниками тока, которые в каждом шаге итерации считаются заданными.

Система нелинейных (1) и линейных (2) уравнений при заданных мощностях узлов \dot{S}_{j} , параметрах сети Y_{jk} и напряжении U_{6} базисного (балансирующего) узла в общем случае решается итерационными методами. После решения задачи (1),(2) для каждого заданного значения напряжения базисного узла потери активной мощности рассчитываются по формуле

$$\pi = \sum_{i=1}^{n} I_{i}^{2} r_{i} + \Delta P_{j} , \qquad (3)$$

где ΔP_j – суммарные потери активной мощности на корону в линиях, холостого хода в трансформаторах, автотрансформаторах, в батареях конденсаторов и в реакторах, подключенных к j-му узлу схемы замещения ЭЭС.

Токи в ветвях $\dot{\mathbf{I}}_{\mathsf{i}}$ схемы замещения ЭЭС определяются по закону Ома для каждой ветви:

$$\sum_{i=1}^{s} a_{ij} \dot{U}_{j} = Z_{i} \dot{I}_{i}, i = 1, 2, ..., n , \qquad (4)$$

где a_{ij} – элемент транспонированной матрицы инциденций; Z_i – комплексные сопротивления ветвей схемы замещения ЭЭС.

решению [3,4]рассматривается экстремальный подход ЭЭС. об потокораспределения Речь идет оптимизации потокораспределения установившегося режима в произвольной пассивной цепи ЭЭС в виде задачи на минимум суммарных потерь активной мощности в сети ЭЭС (3) при соблюдении условий ограничений в виде уравнения узловых напряжений, составленного для всех с узлов схемы замещения ЭЭС:

$$\sum_{k=1}^{s} Y_{jk} \dot{U}_{k} = \dot{\mathfrak{I}}_{j}, \ j = 1, 2, ..., s , \qquad (5)$$

(где Y_{jk} – элементы особенной матрицы проводимостей), а также уравнения закона Ома для каждой ветви (4), уравнений связывающих мощности, задающие токи и фазные напряжения узлов (1) и технических ограничений на модули напряжений в виде неравенств

$$U_{j\min} \le U_j \le U_{j\max}, j = 1, 2, ..., s$$
 (6)

Из (1)-(3) видно, что потери активной мощности в сетях ЭЭС (3) зависят от задаваемого значения базисного напряжения U_6 .

Если в (2) базисному значению U_6 задать ряд дискретных значений $U_6^{(\omega)}$ (ω =1,2,..., Ω) вокруг номинального уровня напряжения и для каждого значения $U_6^{(\omega)}$ по (1),(2) решить задачу установившегося режима ЭЭС (при неизменных значениях Y_{jk} , P_j , Q_j), то получим $U_i^{(\omega)}$ (j=1,2,...,m, ω =1,2,..., Ω) решений.

На основе полученных данных по формулам (3),(4) рассчитываются потери $\pi^{(\omega)}$ (ω =1,2,..., Ω) активной мощности в сети ЭЭС, затем по расчетным данным строится график зависимости потерь активной мощности от значения напряжения базисного узла π =f(U₆).

Отметим, что при расчете потерь по (3) побочные факторы не учитываются, поскольку в сопоставляемом примере [1] их также не учитывают. При этом решаемая задача несколько идеализируется, принимая, что ΔP_j - примерно постоянная величина, что и при решении оптимизационной задачи (3)-(6), параметры режимов ЭЭС не зависят от величины ΔP_i .

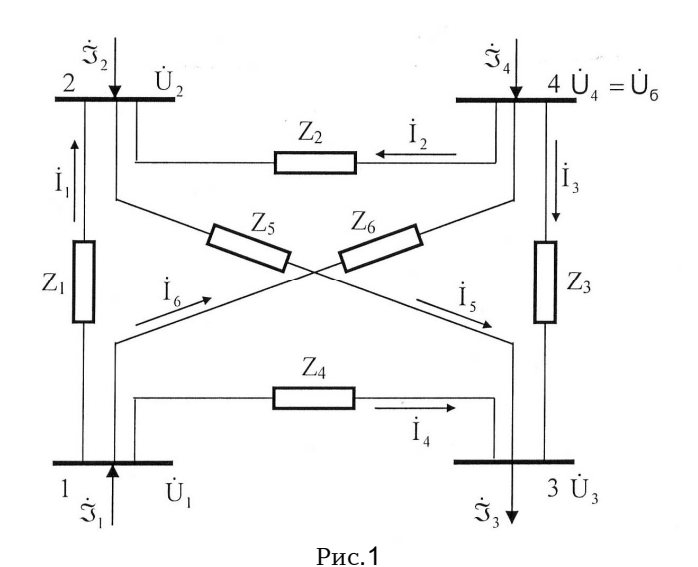
Исходя из физических соображений, можно заметить, что чем больше заданные значения базисного напряжения U_6 , тем больше уровни напряжения U_j в узлах. Так как заданные значения мощностей P_j , Q_j как исходная информация, не меняются, то решение задачи (1), (2) приводит к уменьшению уровней токов и потокораспределения в сетях ЭЭС, а следовательно, к уменьшению потерь активной мощности в сети, рассчитанной по (3). Многочисленные экспериментальные расчеты для схемы сетей рис.1 показали, что между (и U_6 в окрестности номинального уровня напряжения имеет место примерно линейная зависимость. Следует отметить, что по заданным значениям напряжения базисного узла $U_6^{(\omega)}$ (ω =1,2,..., Ω) соответствующие им режимные параметры $U_j^{(\omega)}$ (j=1,2,...,m, ω =1,2,..., Ω) могут оказаться для реальной энергосистемы нереализуемыми, так как система уравнений (1),(2) решается без учета технологических ограничений в виде неравенств (6). Они могут быть учтены только при экстремальной постановке задачи и решении задач потокораспределения установившегося режима ЭЭС с минимизацией потерь активной мощности в сети ЭЭС, т.е. задачи (3)-(6).

В результате решения задачи (3)-(6) определяются оптимальные параметры $\dot{\mathbf{U}}_{\ j}^{*}$ (j=1,2,...,s), в том числе оптимальное значение напряжения балансирующего узла $\dot{\mathbf{U}}_{\ s}^{*}=\mathbf{U}_{\ b}^{*}$, которые удовлетворяют условиям (6).

Следует отметить, что в оптимизационной задаче (3)-(6), благодаря наличию ограничения (6), требования минимума потерь (3) приводят к нахождению наименьшего значения потерь активной мощности в сети ЭЭС. Алгоритм решения задачи (3)-(6) составлен так, что на каждом шаге итерационного процесса балансирующий узел (балансирующая станция) балансирует величины токов ветвей, соединенные в балансирующий узел. Далее определяется новое уточненное значение напряжения балансирующего узла, и это напряжение используется для следующего шага итерации.

Итерационный процесс продолжается до тех пор, пока не найдено оптимальное значение напряжения балансирующего узла и наименьшее значение потерь активной мощности ЭЭС. По найденному значению U_6^* определяются значения активной и реактивной мощностей балансирующего узла ЭЭС. Найденные величины, как исходная информация, задаются для этого узла, и этот режим поддерживается (взамен заданного напряжения базисного узла U_6 в задаче (1)-(2)).

Пример. Рассмотрим четырехузловую схему ЭЭС, схема замещения которой представлена на рис.1.



 $Z_1 {=} 9, 2 {+} j 21, 0 \ , \quad Z_2 {=} 28, 2 {+} j 88, 6 \ , \quad Z_3 {=} 12, 5 {+} j 27, 0 \ ,$

 $Z_4=9,7+j26,1$, $Z_5=10,0+j20,0$, $Z_6=28,2+j76,6$.

Для этой схемы активные и реактивные мощности генераторных и нагрузочных узлов 1,2,3,4 имеют следующие значения.

Таблица 1

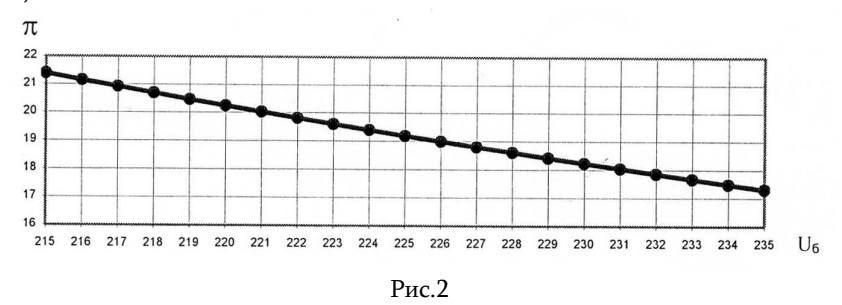
	Р, <i>МВт</i>	Q, MBAp
1	161,29	80,64
2	202,46	101,23
3	431,68	-215,84
4	-	-

Напряжение базисного узла в рассматриваемом примере равно: $\dot{\mathrm{U}}_{4}$ = U_{6} =220 κB . На основе исходной информации произведен расчет установившегося режима данной ЭЭС и получены следующие значения узловых напряжений (в κB) и аргументов (в градусах) для узлов 1,2,3:

$$\dot{U}_1 = 220.8, \angle 1.18^{\circ}; \dot{U}_2 = 221.4, \angle 1^{\circ}; \dot{U}_3 = 204.7, \angle -2.36^{\circ}.$$

Мощность балансирующего узла 4 составляет: P_{4} =88,18 $MB\tau$, Q_{4} =79,88 MBAp, потери активной и реактивной мощностей в сети - (=20,24 $MB\tau$ (потери реактивной мощности: 45,91 MBAp).

Затем, задавая различные дискретные значения напряжения базисного узла $U_6^{(\omega)}$ (ω =1-21) вокруг U_6 =220 κB , решая для каждого значения ω задачу (1),(2) и рассчитывая по (3) значения потерь активной мощности в сети ($MB\tau$) ЭЭС, получим график функции π = $\mathbf{f}(U_6)$ (рис 2).



Пример с теми же заданными исходными данными активных и реактивных мощностей узлов 1,2,3 был решен в экстремальной постановке, т.е. оптимизационной задаче (3)-(6). Получены следующие оптимальные значения модулей напряжений узлов 1,2,3,4 (табл.2).

Таблица 2

N	U*, <i>кВ</i>
1	226,98
2	227,46
3	211,02
4	225,90

В табл.3 представлены оптимальные значения входных и выходных узловых токов в узлах 1,2,3,4.

Таблица 3

N	З ′, кА	З″, кА	З, кА
1	0,334	-0,314	0,4584
2	0,418	-0,394	0,5744
3	-0,905	0,962	1,3208
4	0,149	-0,253	0,2936

В табл. 4 представлены оптимальные значения токов в ветвях 1-6.

Таблица 4

I″, κΑ	Ι, κΑ
0,013	0,015
0,009	0,029
-0,269	0,340
-0,321	0,435
-0,371	0,546
-0,006	0,033
	0,013 0,009 -0,269 -0,321 -0,371

В табл. 3 и 4 приводятся значения действительных и мнимых составляющих токов. Наименьшее значение потерь активной мощности в сети ЭЭС составляет π^* =18,979 MBT.

В рассматриваемом примере [1] ЭЭС работала в обычном неоптимальном режиме при π =20,24 MBT, а после оптимизации режима работы ЭЭС потери уменьшаются до величины π^* =18,979 MBT. Следовательно, оптимизация режима ЭЭС данного примера позволила нам сэкономить $\Delta \pi = \pi - \pi^* = 20,24-18,979=1,261$ MBT мощности в сети ЭЭС.

Таким образом, результаты исследования показали, что в известных традиционных методах расчета установившегося режима ЭЭС, где задается (априори) значение напряжения базисного узла, возникают некоторые ошибки, которые искажают реальную картину потокораспределения и при поддержании искаженного режима в реальной ЭЭС приводят к дополнительным потерям активной мощности в сети. Во избежание указанных недостатков предлагается задачу потокораспределения установившегося режима решить в экстремальной постановке, т.е. решить задачу оптимального потокораспределения (3)-(6).

СПИСОК ЛИТЕРАТУРЫ

- 1. **Хачатрян В.С., Этмекчян Э.А.** Специальные вопросы электрических систем: Учебное пособие.- Ереван / ГИУА, 1992.-118 с.
- 2. **Акопян С.Г., Арутюнян А.С.** Ускорение сходимости итерационного процесса при решении свободного потокораспределения установившегося режима электроэнергетической системы // Сб. материалов годичной научной конференции ГИУА. –Ереван, 2002. Т.1. С.149-150.

- 3. **Акопян С.Г.** Об одном методе расчета потокораспределения установившегося режима электроэнергетической системы // Изв. НАН РА и ГИУА. Сер. ТН. 2000. Т. 53, № 3.- С. 340-346.
- 4. **Акопян С.Г., Арутюнян А.С.** Экстремальный подход к описанию и расчету потокораспределения установившегося режима электроэнергетической системы // Сборник материалов годичной научной конференции ГИУА. Ереван, 2002. Т.1. С. 148-149.

ГИУА. Материал поступил в редакцию 13.10.2003.

Մ.Հ. ՀԱԿՈԲՑԱՆ, Ա.Մ. ՀԱՐՈՒԹՑՈՒՆՑԱՆ, Հ.Գ. ՀԱԿՈԲՑԱՆ, Ա.Հ. ԱՐԱՄՑԱՆ

ԲԱԶԻՍԱՅԻՆ ՀԱՆԳՈՒՅՅԻ ԼԱՐՄԱՆ ԱԶԴԵՑՈՒԹՅԱՆ ՀԵՏԱԶՈՏՈՒՄԸ ԷԼԵԿՏՐԱԷՆԵՐԳԵՏԻԿԱԿԱՆ ՀԱՄԱԿԱՐԳԻ ՑԱՆՑՈՒՄ ԱԿՏԻՎ ՀՉՈՐՈՒԹՅԱՆ ԿՈՐՍՏԻ ՎՐԱ

Հետազոտվում են բազիսային հանգույցի լարման ազդեցությունը հզորության կորստի վրա և Էլեկտրաէներգետիկական համակարգի էլեկտրական ցանցի արդյունավետ աշխատանքի բարձրացումը։ Աշխատանքը առաջին փորձն է տվյալ արդիական հարցին մասնագետների ուշադրությունը հրավիրելու համար։

S.G. HAKOPYAN, A.S. HARUTIUNYAN, H.G. HAKOPYAN, A.G. ARAMYAN

INVESTIGATIONS OF BASIC NODE VOLTAGE IMPACT ON ACTIVE POWER LOSSES IN THE POWER SYSTEM GRID

The impact of basic node voltage magnitude on the power system (PS) capacity loss and work efficiency rise is investigated.